

01,05,07,15

# Магнитная фазовая диаграмма температура-давление сплава FeRh с содержанием фазы Fe<sub>94</sub>Rh<sub>6</sub>

© Т.Р. Арсланов, А.А. Амиров, Л.Н. Ханов

Институт физики им. Х.И. Амирханова, Дагестанский федеральный исследовательский центр РАН, Махачкала, Россия

E-mail: arslanovt@gmail.com

Поступила в Редакцию 20 ноября 2024 г.

В окончательной редакции 25 ноября 2024 г.

Принята к публикации 26 ноября 2024 г.

Исследована  $T$ - $P$  магнитная фазовая диаграмма сплава Fe<sub>50</sub>Rh<sub>50</sub> с содержанием обогащенной железом фазы Fe<sub>94</sub>Rh<sub>6</sub> на основе измерений удельного сопротивления при гидростатическом давлении. До давлений 2 GPa температура Нееля  $T_N \approx 370$  K демонстрирует закономерное смещение с положительным барическим коэффициентом +42.3 K/GPa. Влияние фазы Fe<sub>94</sub>Rh<sub>6</sub> на поведение  $T_N$  выявляется при больших давлениях ( $P > 3.5$  GPa), при которых происходит огибание области тройной точки на фазовой диаграмме в связи с возможным формированием новой антиферромагнитной структуры высокого давления.

**Ключевые слова:** FeRh, высокое давление, структура B2, удельное сопротивление, температура Нееля, магнитная фазовая диаграмма.

DOI: 10.61011/FTT.2024.12.59599.314

## 1. Введение

В последние годы интерес к необычным свойствам интерметаллического соединения железа и родия (FeRh) вызван возможностью получения тонкопленочных форм на его основе, ориентированных на усовершенствование архитектуры устройств [1–6]. Параллельно с этим, объемные формы FeRh занимают особое место в иерархии магнитокалорических материалов в связи с преобладанием существенных изменений энтропии в процессе магнитного фазового превращения первого рода [7–9]. Однако, несмотря на практическую значимость и многочисленные исследования последних лет, физическая природа фазового превращения в FeRh, обнаруженного более полувека назад [10], до сих пор остается противоречивой.

Упорядоченное соединение Fe<sub>50</sub>Rh<sub>50</sub> может быть реализовано в двух типах кристаллических модификаций: химически упорядоченной структурой bcc-B2 (типа CsCl) и неупорядоченной структурой fcc при комнатной температуре. Находясь в фазе fcc сплав не проявляет заметных магнитных свойств [11]. В тоже время фаза bcc является антиферромагнетиком G-типа и претерпевает изоструктурный магнитный фазовый переход первого рода из антиферромагнитной фазы в ферромагнитную фазу в области  $\sim 370$  K с повышением температуры [10,12]. С дальнейшим повышением температуры ферромагнитная фаза переходит в парамагнитную фазу при  $T_C = 670$  K [12]. „Низкотемпературная“ фаза bcc-B2 характеризуется магнитной структурой, в которой локальные моменты Fe составляют  $\pm 3 \mu_B$  и почти нулевые моменты располагаются на атомах Rh, тогда как в высокотемпературной ферромагнитной фазе локальные

моменты железа и родия составляют  $\sim 3.2 \mu_B$  и  $\sim 1 \mu_B$ , соответственно. Фазовое превращение между этими магнитными структурами происходит путем метамагнитного перехода, сопровождаемого объемным расширением кубической фазы  $\sim 1\%$  и большим падением удельного сопротивления, что указывает на тесную связь между электронными, магнитными и структурными свойствами в сплаве [12,13].

Исследования магнитных свойств FeRh в рамках расчетов из первых принципов в большинстве своем сходятся во мнении, что решающую роль в механизме магнитного превращения играют локальные моменты Rh [14,15]. Схожий вывод также следует из исследований при высоком давлении, которые отмечают, что атомы Rh не обладают магнитным моментом находясь в антиферромагнитной и парамагнитной фазах высокого давления [16]. Более того, температура перехода первого рода ( $T_N$ ) под действием высокого давления возрастает, стабилизируя антиферромагнитное состояние в широкой области  $T$ - $P$  фазовой диаграммы, а температура перехода при  $T_C$  наоборот, демонстрирует убывание. При этом на  $T$ - $P$  магнитной фазовой диаграмме обсуждается существование тройной точки, в которой антиферромагнитная, ферромагнитная и парамагнитная фазы могут сосуществовать [16–19].

В настоящей работе рассматривается влияние обогащенной железом фазы Fe<sub>94</sub>Rh<sub>6</sub> в упорядоченном сплаве Fe<sub>50</sub>Rh<sub>50</sub> на состояние его  $T$ - $P$  магнитной фазовой диаграммы. В рамках настоящего исследования были выполнены высокотемпературные измерения удельного сопротивления под давлением, главным образом, акцентированные на температуру перехода из антиферромагнитного состояния в ферромагнитное состояние.

Показано, что наличие фазы Fe<sub>0.94</sub>Rh<sub>0.06</sub> ведет к обходу фазовой линии температуры Нееля от предполагаемой тройной точки на  $T$ - $P$  магнитной фазовой диаграмме Fe<sub>50</sub>Rh<sub>50</sub>.

## 2. Методика эксперимента

Образец состава Fe<sub>50</sub>Rh<sub>50</sub> был получен методом дуговой плавки из чистых элементов родия Rh (99.9%) и железа (99.99%). После плавки образец был подвергнут гомогенизационному отжигу при температуре  $T = 1000^\circ\text{C}$  в течении недели, далее был очищен и вырезан в форме пластины. Для последующей характеристики полученного образца методом рентгеновской дифракции использовался порошок мелкой фракции (10–15  $\mu\text{m}$ ), полученный механическим путем. На рис. 1 показана типичная рентгенограмма этого порошка. По данным рентгенофазового анализа (РФА) в образце идентифицировалась кубическая фаза FeRh с пространственной группой  $Fm-3m$  ( $a = 3.74 \text{ \AA}$ ,  $V = 52.31 \text{ \AA}^3$ ), содержание которой составляло 95.4%. Помимо основной этой фазы, данные РФА отмечали присутствие 4.6% кубической фазы Fe<sub>0.94</sub>Rh<sub>0.06</sub> с пространственной группой  $Im-3m$  ( $a = 2.88 \text{ \AA}$ ,  $V = 24.1 \text{ \AA}^3$ ).

Удельное сопротивление образца измерялось в диапазоне температур между 290 К и 470 К при высоком гидростатическом давлении в камере Торонд-15 [20] с использованием модифицированного шести контактного метода. Исследуемые образцы были вырезаны в форме параллелепипеда с типичными размерами  $2.8 \times 0.9 \times 0.9 \text{ mm}^3$ . Постоянный ток, пропускаемый через образец, составлял 100 мА. Контакты для измерения электротранспортных свойств изготавливались методом пайкой на основе оловянно-свинцового припоя. В качестве среды передающей давление во фторопластовой капсуле с рабочим объемом  $80 \text{ mm}^3$ , использовалась полиэтилсилоксановая жидкость (ПЭС-5), которая позволяет проводить высокотемпературные измерения в условиях гидростатического сжатия. Давление внутри капсулы контролировалось манганиновым датчиком, откалиброванным по точкам фазовых переходов в висмуте (2.55 GPa, 2.69 GPa и 7.7 GPa).

## 3. Результаты и обсуждение

Закономерной особенностью температурного поведения удельного сопротивления для большинства сплавов системы Fe-Rh является преобладание выраженной аномалии в области превращения из антиферромагнитной фазы в ферромагнитную фазу, которая очень схожа с проявлением волны зарядовой плотности. На рис. 2 приводится температурная зависимость удельного сопротивления  $\rho(T)$  для образца Fe<sub>50</sub>Rh<sub>50</sub> с начальным значением  $\rho_0 = 2.32 \cdot 10^{-4} \Omega \cdot \text{cm}$  при атмосферном давлении. С нагревом и последующим охлаждением

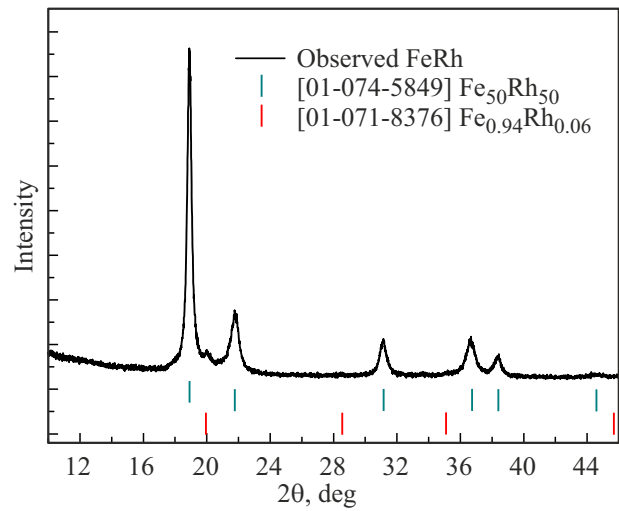


Рис. 1. Порошковая рентгенограмма образца Fe<sub>50</sub>Rh<sub>50</sub>. Черная линия соответствует экспериментальным данным, а вертикальные черточки соответствуют положению брэгговских пиков для фаз Fe<sub>50</sub>Rh<sub>50</sub> и Fe<sub>0.94</sub>Rh<sub>0.06</sub>, как указано в обозначениях.

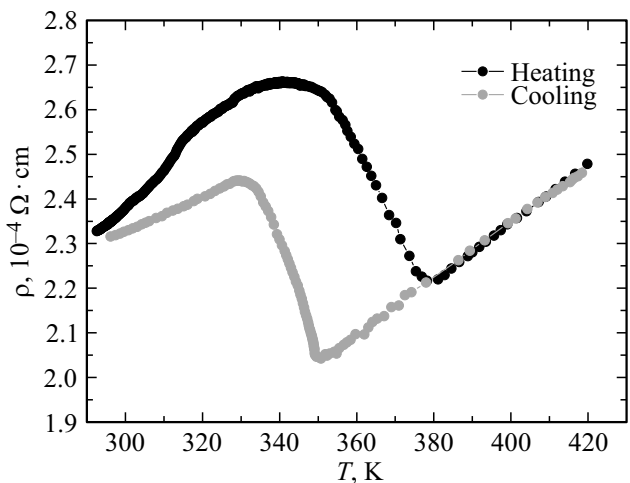


Рис. 2. Температурная зависимость удельного сопротивления Fe<sub>50</sub>Rh<sub>50</sub> при атмосферном давлении, измеренная в режиме нагрева и охлаждения.

зависимость  $\rho(T)$  демонстрирует характерное гистерезисное поведение в области вышеупомянутого фазового перехода первого рода и хорошо согласуется с данными предыдущих исследований [12,13].

Температура магнитного перехода в режиме нагрева, опередельная как производная  $d\rho/dT$ , составляет  $T_N \approx 370 \text{ K}$ . Из зависимости  $\rho(T)$  следует отметить, что наличие дополнительной фазы Fe<sub>94</sub>Rh<sub>6</sub> в образце на данном этапе не демонстрирует какого-либо вклада в транспортное поведение.

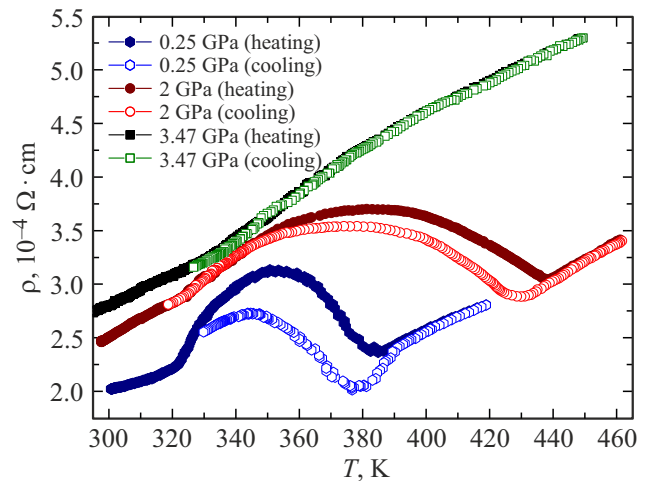
На рис. 3. показана зависимость удельного сопротивления от температуры  $\rho(T, P)$  в условиях приложения высоких давлений до 3.47 GPa для образца Fe<sub>50</sub>Rh<sub>50</sub>, в котором исходное значение  $\rho_0 = 1.98 \cdot 10^{-4} \Omega \cdot \text{cm}$ .

С повышением давления происходит заметное смещение кривых нагрева и охлаждения  $\rho(T, P)$ , а также области фазового превращения в сторону высоких температур. Уже при давлении  $P = 3.45$  GPa температура Нееля выходит за пределы измеряемого температурного диапазона ( $T < 470$  K). Температура перехода  $T_N$  для давлений 0.25 GPa и 2 GPa определялась аналогичным образом по минимумам зависимости  $d\rho(T)/dT$  (см. как пример вставку к рис. 4) за исключением кривой при  $P = 3.45$  GPa. Оцененное значение барического коэффициента в интервале этих давлений составляет  $dT_N/dP = +42.3$  K/GPa, что очень близко к значению  $+44$  K/GPa из работы [17]. С другой стороны, в соответствии с результатами этой же работы, происходит понижение ширины температурного гистерезиса при повышении давления, указывающее о постепенном изменении рода фазового превращения с первого на второй. В этой связи отсутствие гистерезиса для кривой  $\rho(T, P)$  при 3.47 GPa на рис. 3 не следует ассоциировать с наступлением фазового перехода второго рода, поскольку магнитный фазовый переход еще не был реализован.

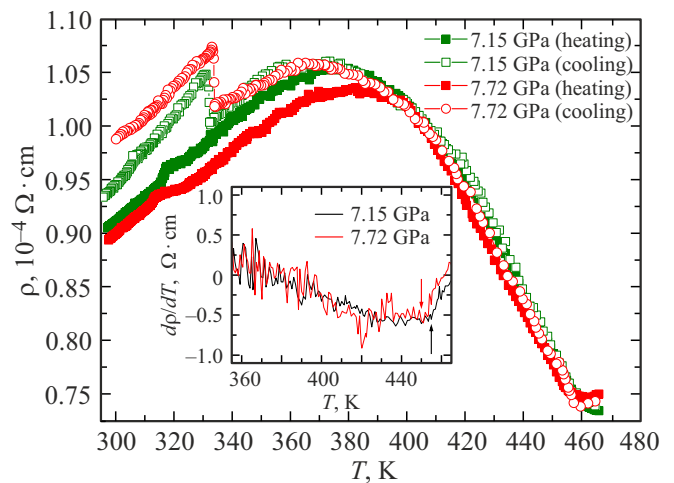
Следует отметить, что столь сильное смещение  $T_N$  с ростом давления в экваторного  $\text{Fe}_{50}\text{Rh}_{50}$ , подразумевает, что барический коэффициент  $dT_N/dP$  остается постоянным по знаку вплоть до давлений  $P = 8.3$  GPa. [17]. Дальнейшие наши измерения  $\rho(T, P)$ , выполненные в области более высоких давлений ( $P > 7$  GPa) выявили неожиданное поведение, происходящее в нашем образце. Как показано на рис. 4, для давлений  $P = 7$  GPa и 7.7 GPa, аномальное поведение  $\rho(T, P)$ , связанное с вероятно тем же магнитным превращением из антиферромагнитного состояния в ферромагнитное, снова реализуется в диапазоне измеряемых температур, что может говорить об имеющей место тенденции смены знака  $dT_N/dP$ . Как показано на вставке к рис. 4, зависимость  $d\rho(T)/dT$  отмечает значения  $T_N \approx 455$  K и  $T_N \approx 450$  K для давлений  $P = 7.15$  GPa и  $P = 7.72$  GPa, соответственно. Таким образом, понижение  $T_N$  при  $P > 7$  GPa, идет в разрез с результатами, как для экваторного состава  $\text{Fe}_{50}\text{Rh}_{50}$ , так и для ряда нестехиометрических и допированных соединений  $\text{Fe}_{49}\text{Rh}_{45.1}$ ,  $\text{Fe}_{51.5}\text{Rh}_{48.5}$ ,  $\text{Fe}_{50.5}\text{Rh}_{49.5}$ ,  $\text{Fe}_{44}\text{Rh}_{49.5}\text{Ir}_{6.5}$  [17,21].

Ещё одной обнаруженной особенностью поведения  $\rho(T, P)$  на рис. 4 является наличие гистерезиса, который демонстрирует незначительный скачок в районе  $T = 320\text{--}322$  K с нагревом и более выраженный скачок вблизи  $T = 334\text{--}336$  K в режиме охлаждения (рис. 4). По данным  $T$ - $P$  магнитной фазовой диаграммой для сплава  $\text{Fe}_{50}\text{Rh}_{50}$  выше давления 6 GPa (в области тройной точки) реализуется фазовый переход второго рода из антиферромагнитного состояния в парамагнитное при котором происходит понижение темпа от  $dT_N/dP$  от  $+10$  до  $+6$  K/GPa [16,17], что по всей видимости не наблюдается для нашего случая.

Резонным объяснением такого поведения может выступать факт присутствия фазы  $\text{Fe}_{94}\text{Rh}_6$ , которая начи-



**Рис. 3.** Температурная зависимость удельного сопротивления  $\text{Fe}_{50}\text{Rh}_{50}$  при различных давлениях до 3.47 GPa, измеренная в режиме нагрева и охлаждения при атмосферном давлении.

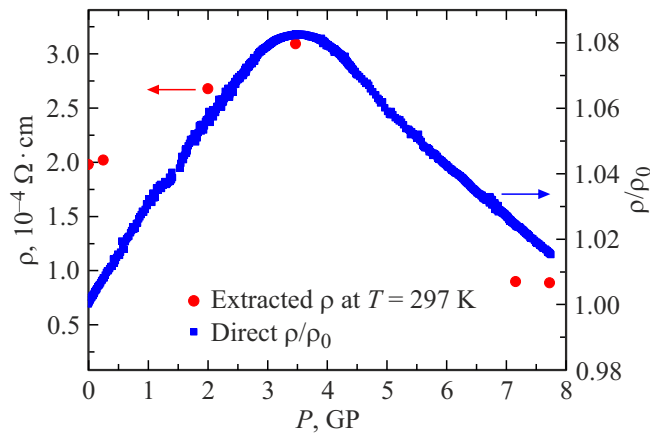


**Рис. 4.** Температурная зависимость удельного сопротивления  $\text{Fe}_{50}\text{Rh}_{50}$  при давлениях 7.15 GPa и 7.72 GPa, измеренная в режиме нагрева и охлаждения при атмосферном давлении. На вставке приведена температурная зависимость  $d\rho/dT$  для этих давлений.

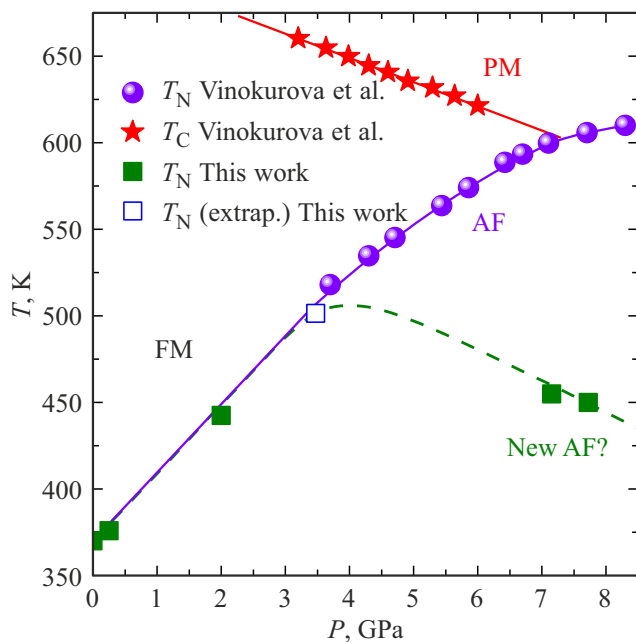
нает вносить вклад в транспортное поведение при более высоких давлениях.

На рис. 5 приводится сравнение между данными  $\rho(T, P)$ , извлеченными из рис. 3 и рис. 4 при  $T = 297$  K, и барической зависимостью прямых измерений  $\rho(P)/\rho_0$  при той же температуре на образце  $\text{Fe}_{50}\text{Rh}_{50}$  с  $\rho_0 = 2.345 \cdot 10^{-4} \Omega \cdot \text{cm}$ .

Обе эти зависимости, несмотря на различие в начальных значениях  $\rho_0$ , демонстрируют максимум при  $P \approx 3.45$  GPa. Отметим, что подобное куполообразное поведение  $\rho(P)$  наблюдаюся для соединения  $\text{MnAs}$ , которое сопровождалось индуцированным давлением магнитным переходом, в частности, в ферромагнитную фазу высокого давления [22]. Однако, в случае  $\text{Fe}_{50}\text{Rh}_{50}$



**Рис. 5.** Зависимости удельного сопротивления для двух образцов Fe<sub>50</sub>Rh<sub>50</sub> от давления. Левая шкала по оси ординат соответствует значениям  $\rho(T, P)$  извлеченных из рис. 3 и рис. 4 при  $T = 297$  K, в то время как правая шкала отображает нормализованное значение  $\rho/\rho_0$  для образца Fe<sub>50</sub>Rh<sub>50</sub> с  $\rho_0 = 2.345 \cdot 10^{-4} \Omega \cdot \text{cm}$  измеренного при изотермическом повышении давления.



**Рис. 6.**  $T$ - $P$  магнитная фазовая диаграмма Fe<sub>50</sub>Rh<sub>50</sub>, сконструированная по измерениям  $\rho(T, P)$  и данным литературы [17]. Обозначения FM, AF, PM соответствуют ферромагнитному, антиферромагнитному и парамагнитному состояниям, соответственно. Сплошные линии обозначают фазовые линии для температур  $T_N$  и  $T_C$ . Штрихованная линия показывает обход  $T_N$  от области тройной точки, предлагая формирования новой AF фазы.

можно сделать вывод, что изменение барического хода  $\rho(P)$  выше 3.45 GPa скорее вызвано влиянием фазы Fe<sub>94</sub>Rh<sub>6</sub>, из-за которой происходит смена знака  $dT_N/dP$ .

На основе полученных нами данных  $\rho(T, P)$  до давлений 7.72 GPa, а также и данных работы [17] была постро-

ена  $T$ - $P$  магнитная фазовая диаграмма Fe<sub>50</sub>Rh<sub>50</sub> (рис. 6). На данной фазовой диаграмме значение  $T_N \sim 508$  K при  $P = 3.45$  GPa было получено путем экстраполяции данных с учетом постоянного барического коэффициента  $dT_N/dP = +42.3$  K/GPa до этого диапазона давлений. Как можно видеть, качественное поведение  $T_N$  для Fe<sub>50</sub>Rh<sub>50</sub>, содержащего фазу Fe<sub>94</sub>Rh<sub>6</sub>, заметно отличается, демонстрируя отклонение от фазовой линии  $T_N$  литературных данных. Понижение  $T_N$  выше давления 3.45 GPa формально можно рассматривать как отсутствие тройной точки на фазовой диаграмме Fe<sub>50</sub>Rh<sub>50</sub> из-за обхода фазовой области сосуществования трех фаз. В свою очередь это может обозначать, что область высокотемпературной ферромагнитной фазы будет стабилизироваться с ростом давления и стремиться в область низких температур.

Наличие обогащенной железом фазы Fe<sub>94</sub>Rh<sub>6</sub>, хотя и не значительно по сравнению с основной кубической фазой Fe<sub>50</sub>Rh<sub>50</sub>, но может вносить сильное влияние в намагниченность образца из-за её ферромагнитного состояния. Известно, что даже незначительное отклонение (1–2%) от стехиометрического состава системы Fe-Rh в сторону увеличения концентрации железа может сформировать ферромагнитный порядок в широком диапазоне температур, как это было показано для случая Fe<sub>51.5</sub>Rh<sub>48.5</sub> [21]. Таким образом, для нашей системы Fe<sub>50</sub>Rh<sub>50</sub>–Fe<sub>94</sub>Rh<sub>6</sub> будет характерно наличие такого ферромагнитного вклада. По аналогии с выводами работы [21], можно заключить, что плавное повышение удельного сопротивления с ростом давления (рис. 5) связано с доминированием ферромагнитной составляющей для образца, который находится в неоднородном магнитном состоянии (т.е. содержит одновременно ферро- и антиферромагнитную компоненты). В условиях высокого давления, ферромагнитная фаза Fe<sub>94</sub>Rh<sub>6</sub> может трансформироваться в антиферромагнитную структуру через фазовый переход первого рода и данное фазовое превращение совпадает с точкой максимума при  $P \approx 3.5$  GPa (рис. 5). Далее с убыванием удельного сопротивления выше 3.5 GPa наряду с кубической антиферромагнитной структурой Fe<sub>50</sub>Rh<sub>50</sub> будет развиваться антиферромагнитная структура Fe<sub>94</sub>Rh<sub>6</sub>, что в итоге может привести к формированию новой модулированной антиферромагнитной структуры, отличной от исходной G-типа, как проиллюстрировано на  $T$ - $P$  магнитной фазовой диаграмме (рис. 6).

## 4. Заключение

В рамках настоящего исследования было изучено влияние фазы Fe<sub>94</sub>Rh<sub>6</sub>, идентифицированной в экваторном сплаве Fe<sub>50</sub>Rh<sub>50</sub>, на состояние его  $T$ - $P$  магнитной фазовой диаграммы по результатам высокотемпературных исследований удельного сопротивления до давлений 7.72 GPa. При атмосферном давлении зависимость  $\rho(T)$  демонстрирует фазовое превращение из антиферромаг-

нитной фазы в ферромагнитную фазу при  $T_N \approx 370$  К и не отображает влияние фазы  $\text{Fe}_{94}\text{Rh}_6$ . Смещение  $T_N$  с приложением давления до 2 ГПа происходит с темпом  $dT_N/dP = +42.3$  К/ГПа, в хорошем соответствии с литературными данными. Заметное влияние фазы  $\text{Fe}_{94}\text{Rh}_6$  было установлено в области больших давлений при  $P > 7$  ГПа, которое приводит к снижению  $T_N$  до 450 К при  $P = 7.72$  ГПа. Отклонение фазовой линии  $T_N$ , происходящее выше давления 3.45 ГПа по данным зависимости  $\rho(P)$ , указывает об отсутствии тройной точки на  $T$ - $P$  магнитной фазовой диаграмме, а также о возможном формировании новой антиферромагнитной структуры высокого давления.

### Финансирование работы

Работа выполнена при финансовой поддержке Российского научного фонда (РНФ) в рамках проекта № 23-22-00324. Авторы выражают благодарность Чирковой А. (Hochschule Bielefeld University of Applied Sciences and Arts, Bielefeld, Germany) за предоставленный образец, ценные замечания и обсуждения результатов.

### Конфликт интересов

Авторы заявляют, что у них нет конфликта интересов.

### Список литературы

- [1] D. Hamara, M. Strungaru, J. R. Massey, Q. Remy, X. Chen, G.N. Antonio, O.A. Santos, M. Hehn, R.F. L. Evans, R.W. Chantrell, S. Mangin, C. Ducati, C. H. Marrows, J. Barker, C. Ciccarelli, Nat. Commun. **15**, 4958 (2024).
- [2] X. Yuan, Z. Zhang, R. Li, Q. Li, H. Lai, Y. Song, F. Liu, Y. Liu, Z. Lu, and R. Xiong. J. Alloys Compd. **1007**, 176330 (2024).
- [3] K. Kang, H. Omura, D. Yesudas, O. Lee, K.-J. Lee, H.-W. Lee, T. Taniyama, G.-M. Choi. Nat. Commun. **14**, 3619 (2023).
- [4] C. Cao, S. Chen, B. Cui, G. Yu, C. Jiang, Z. Yang, X. Qiu, T. Shang, Y. Xu, Q. Zhan. ACS Nano **16**, 8, 12727–12737 (2022).
- [5] D. G. Merkel, G. Hegedüs, M. Gracheva, A. Deák, L. Illés, A. Németh, F. Maccari, I. Radulov, M. Major, A.I. Chumakov, D. Bessas, D.L. Nagy, Z. Zolnai, S. Graning, K. Sájerman, E. Szilágyi. ACS Appl. Nano Mater. **5**, 4, 5516–5526 (2022).
- [6] D.G. Merkel, A. Lengyel, D.L. Nagy, A. Németh, Z.E. Horváth, C. Bogdán, M.A. Gracheva, G. Hegedüs, S. Sajti, G.Z. Radnóczy, E. Szilágyi. Sci. Rep. **10**, 13923 (2020).
- [7] J.-Z. Hao, F.-X. Hu, Z.-B. Yu, F.-R. Shen, H.-B. Zhou, Y.-H. Gao, K.-M. Qiao, J. Li, C. Zhang, W.-H. Liang, J. Wang, J. He, J.-R. Sun, B.-G. Shen. Chin. Phys. B **29**, 4, 047504 (2020).
- [8] A.P. Kamantsev, A.A. Amirov, V.D. Zaporozhets, I.F. Gribov, A.V. Golovchan, V.I. Valkov, O.O. Pavluchina, V.V. Sokolovskiy, V.D. Buchelnikov, A.M. Aliev, V.V. Koledov. Metals **13**, 5, 956 (2023).
- [9] R. Joshi, S. Karmakar, K. Kumar, M. Gupta, R. Rawat. J. Appl. Phys. **133**, 173904 (2023).
- [10] M. Fallot. Ann. Phys. **10**, 291 (1938).
- [11] H. Miyajima, S. Yuasa. J. Magn. Magn. Mater. **202**, 104–107 (1992).
- [12] J.S. Kouvel and C.C. Hartelius. J. Appl. Phys. **33**, 1343 (1962).
- [13] L.H. Lewis, C.H. Marrows, S. Langridge. J. Phys. D: Appl. Phys. **49**, 323002 (2016).
- [14] L.M. Sandratskii, P. Mavropoulos. Phys. Rev. B **83**, 174408 (2011).
- [15] J.B. Staunton, R. Banerjee, M. dos S. Dias, A. Deak, L. Szunyogh. Phys. Rev. B **89**, 054427 (2014).
- [16] R.C. Wayne. Phys. Rev. **170**, 523 (1968).
- [17] L.I. Vinokurova, A.V. Vlasov, M. Pardavi-Horváth. Physica Status Solidi (b) **78**, 1, 353–357 (1976).
- [18] M.E. Gruner, P. Entel. Phase Transitions **78**, 1–3, 209–217 (2005).
- [19] E. Mendive-Tapia and T. Castán. Phys. Rev. B **91**, 224421 (2015).
- [20] L.G. Khvostantsev, V.N. Slesarev, V.V. Brazhkin. High Pressure Res. **24**, 371 (2004).
- [21] L.I. Vinokurova, A.V. Vlasov, N.I. Kulikov, M. Pardavi-Horváth. J. Magn. Magn. Mater. **25**, 2, 201–206 (1981).
- [22] Т.Р. Арсланов, Л.Н. Ханов, Г.Г. Ашуров, А.И. Риль. ФТТ **66**, 1, 3–7 (2024).

Редактор Ю.Э. Кумаев